

SISMICIDADE DO NORDESTE DO BRASIL

JOAQUIM M. FERREIRA

*Grupo de Geofísica – Departamento de Física Teórica e Experimental – Universidade Federal do Rio Grande do Norte
Caixa Postal 143 – 59.000 – Natal - RN*

MARCELO S. ASSUMPÇÃO¹

Instituto Astronômico e Geofísico – Universidade de São Paulo

A revised catalogue of earthquakes, which occurred in the Northeastern region of Brazil up to 1980, is presented. Most of the data come from historical macroseismic information collected in old publications and newspapers. Recent instrumental data is used to derive empirical relations between magnitude and felt area in order to estimate m_b magnitudes for the events not recorded by seismographic stations. Macroseismic data for two large events (Pereiro 23.02.68, and Pacajus 20.11.80) are presented in detail. Epicentres of four recent events recorded at NAT were determined by combining the macroseismic and instrumental data and used to define a preliminary value of the ratio $K = V_p/V_s = 1.77$ for the region under study. A swarm of activity at Parazinho, Rio Grande do Norte, was studied in more detail to estimate the parameter b of the Gutenberg and Richter frequency-magnitude relation.

INTRODUÇÃO

Desde o trabalho de Capanema (1859) foram feitas várias compilações de eventos sísmicos ocorridos no território brasileiro tais como Gama (1910), Sadowski et al. (1978) e Berrocal et al. (1981). Há ainda a contribuição relevante dos trabalhos de Sampaio (1916, 1919 e 1920) referentes aos eventos sísmicos ocorridos no Recôncavo Baiano. Tentativas de interpretação sismotectônica foram feitas por Branner (1912, 1920) e recentemente por Haberlehner (1978), Sadowski et al. (1978) e Hasui & Ponçano (1978). No entanto os dados sismológicos disponíveis até agora eram insuficientes para estudar-se a sismotectônica do Nordeste.

O objetivo deste trabalho é apresentar, de maneira sintética, um levantamento dos eventos sísmicos ocorridos no Nordeste do Brasil até 31 de dezembro de 1980. Para este levantamento foram coletados e analisados dados macrossísmicos e instrumentais e, na medida do possível, foram avaliadas intensidades e magnitudes para formação de um catálogo de sismos. Espera-se que este catálogo sirva de base para estudos futuros da sismicidade e simotectônica do Nordeste do Brasil. Naturalmente, o levantamento apresentado neste trabalho não é completo e provavelmente muitos outros dados serão coletados em pesquisas futuras sobre a sismicidade do Nordeste.

DADOS MACROSSÍSMICOS

Os dados macrossísmicos são uma descrição dos efeitos da passagem das ondas sísmicas produzidas por um sismo: tanto sensações em pessoas e animais, como efeitos em objetos, construções e na própria natureza. O estudo dos eventos ocorridos antes da invenção do sismógrafo só pode

ser feito através da análise destes dados macrossísmicos. Até hoje, em regiões como o Brasil, com baixa densidade de estações sismográficas e onde os epicentros instrumentais muitas vezes são determinados utilizando-se estações distantes, o uso de dados macrossísmicos continua sendo de grande valia para uma melhor determinação de epicentros.

O material com dados macrossísmicos utilizado neste trabalho foi, inicialmente, o mesmo usado por Berrocal et al. (1979). Posteriormente foram coletadas informações adicionais, principalmente em bibliotecas públicas e arquivos de jornais de Recife, Caruaru, Maceió, João Pessoa, Natal e Fortaleza. Sempre que possível tentou-se obter as informações originais referentes a cada evento. Foram realizadas também algumas entrevistas com pessoas que haviam sentido tremores em anos recentes.

Resumidamente, o tratamento dos dados macrossísmicos é constituído das seguintes etapas: identificação do evento a que pertencem; localidades afetadas; efeitos sentidos em cada localidade; avaliação das intensidades; mapa da área afetada e respectivas isossistas; determinação do epicentro macrossísmico e avaliação da magnitude através da área afetada. Para a avaliação das intensidades foi utilizada a escala Mercalli Modificada (Wood & Neumann, 1931). O cálculo da magnitude a partir da área afetada será visto posteriormente. Na prática, os dados nem sempre permitem a realização de todas as etapas do tratamento; em alguns casos, nem mesmo é possível obter com precisão a data de ocorrência do evento.

A seguir são apresentados, de forma resumida, dois exemplos de eventos sísmicos onde foi possível realizar todas as etapas do tratamento de dados macrossísmicos: o evento de Pereiro (CE) de 23 de fevereiro de 1968, cujo epicentro provável na realidade se encontra no Estado do Rio Grande do Norte, e o de Pacajus (CE) de 20 de novem-

¹ Atualmente no Departamento de Geociências, Universidade de Brasília, 70.910, Brasília – DF.

bro de 1980. As informações dos efeitos macrossísmicos, resumidas abaixo, foram baseadas principalmente em notícias de jornais da época. É provável que muitas das notícias tenham sido exageradas. Foi tomado todo cuidado possível para confirmar as notícias, seja através de jornais independentes seja através de relatórios específicos. No caso do sismo de Pacajus foi possível contar também com informações fornecidas pelo geólogo J.A. Mioto, do Instituto de Pesquisas Tecnológicas de São Paulo, que visitou várias cidades afetadas.

a. PEREIRO

Data: 23.02.1968 às 11 h 23 min, hora local (12h 23 min, horário de verão).

Epicentro provável: 6,09°S 38,44°W

Intensidade máxima observada: VII MM (Fig. 1)

Área afetada: $84,0 \times 10^3 \text{ km}^2$ (Fig. 2)

Magnitude: 4,6mb

Localidades afetadas:

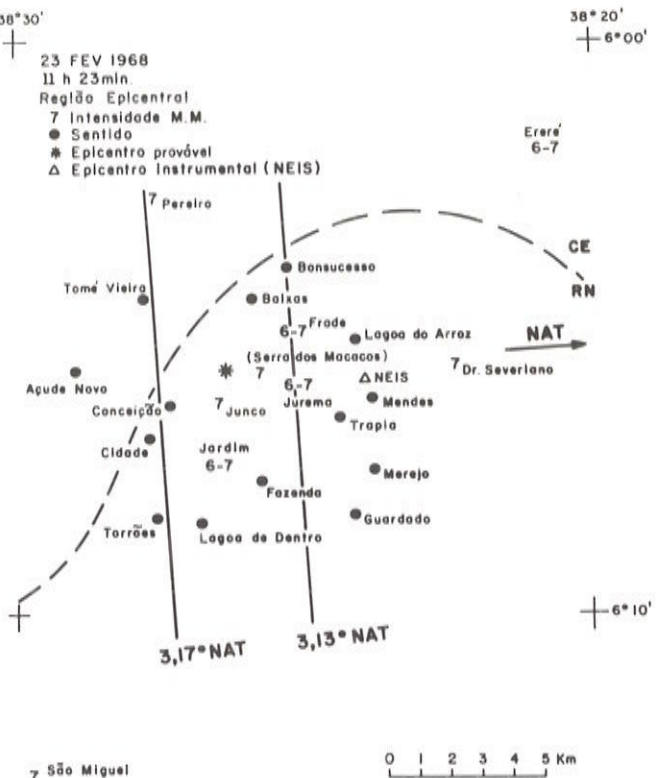


Figura 1 — Região epicentral do sismo de Pereiro (CE) de 23.02.1968 (11h 23 min, h. local). As linhas 3,17° NAT e 3,13° NAT são as distâncias em graus à estação de Natal, calculadas a partir dos sismogramas de NAT, usando-se a tabela Herrin e levando-se em conta as incertezas na medida de S-P em NAT.

Antenor Navarro (PB) — garrafas “dançaram” nas prateleiras e muitas chegaram a cair. *Crato (CE)* — sentido na Agência do Banco do Brasil; não houve pânico; localidade onde foi sentido mais fortemente na zona do Cariri. *Dr. Severiano (RN)* — numerosas casas desabaram ou tiveram suas paredes rachadas; abertura de fendas na terra; 1500 pessoas desabrigadas; pânico geral. *Ererê (CE)* — desabamento de casas; população em polvorosa; um morto (ao fugir do desabamento caiu de mau jeito). *Frade (RN)* — todas as casas dos trabalhadores desabaram; casa grande com enormes fendas nas paredes; queda de telhas; feridos. *Icó (CE)* — “trovões” seguidos de tremores; apareceram grandes rachaduras em algumas casas. *Jaguaribe (CE)* — “trovões” seguidos de tremores; apareceram grandes rachaduras em algumas casas; jogou telhas dos telhados à distância de quase 0,5m; pessoas hospitalizadas com crise nervosa. *Jardim (RN)* — fenderam-se as paredes de 30 a 40 casas. *Junco (RN)* — fendas em 90% dos prédios; algumas casas ruíram; caixão de farinha partiu-se ao meio; feridos; população em fuga. *Jurema (RN)* — casa com enorme fenda; desabou casa de farinha. *Mundo Novo (RN)* — algumas casas inabitáveis. *Orós (CE)* — tremor precedido de estrondos; tremor rápido; estremecimento em janelas; casas fenderam-se; danos em um prédio; pânico. *Pau dos Ferros (RN)* — ambiente de pânico. *Pereiro (CE)* — Tremores precedidos de estrondos como se fossem trovões; objetos tremeram; panelas remexeram-se e cairam do fogão; casa inteira tremeu; provocou fendas, pequenas e grandes, em 40% dos prédios; paredes rachadas de cima a baixo; paredes empenadas; queda de reboco de residências e da igre-

ja; vigas dos telhados afastadas; deslizamento de telhas; várias brechas nas paredes do ginásio; centenas de pessoas correram para as ruas aos gritos; população desabrigada; mais de 1000 pessoas abandonaram a cidade. *S. Miguel (RN)* — rachaduras em várias casas; destruiu parte de alguns prédios; ruas com fendas enormes nos “paralelos”. *Senador Pompeu (CE)* — algumas casas apresentaram pequenas rachaduras; não houve pânico. *Serra dos Macacos (RN)* — várias casas caídas e muitas apresentaram rachaduras; aparecimento de estreitas fendas em zona de talude; população em fuga. *Uiraúna (PB)* — população saiu às ruas assombrada.

Causou alguns prejuízos (danos) nas seguintes localidades: Açude Novo, Baixo do Queirós, Campos, Flores, Mamoeiro, São José, São Paulo, Tomé Vieira e Trigueiro, no Ceará; Baixos, Bonsucesso, Cidade, Conceição, Fazenda, Guardado, Lagoa de Dentro, Mendes, Merejo, Teixeira, Torrões e Trapia, no Rio Grande do Norte.

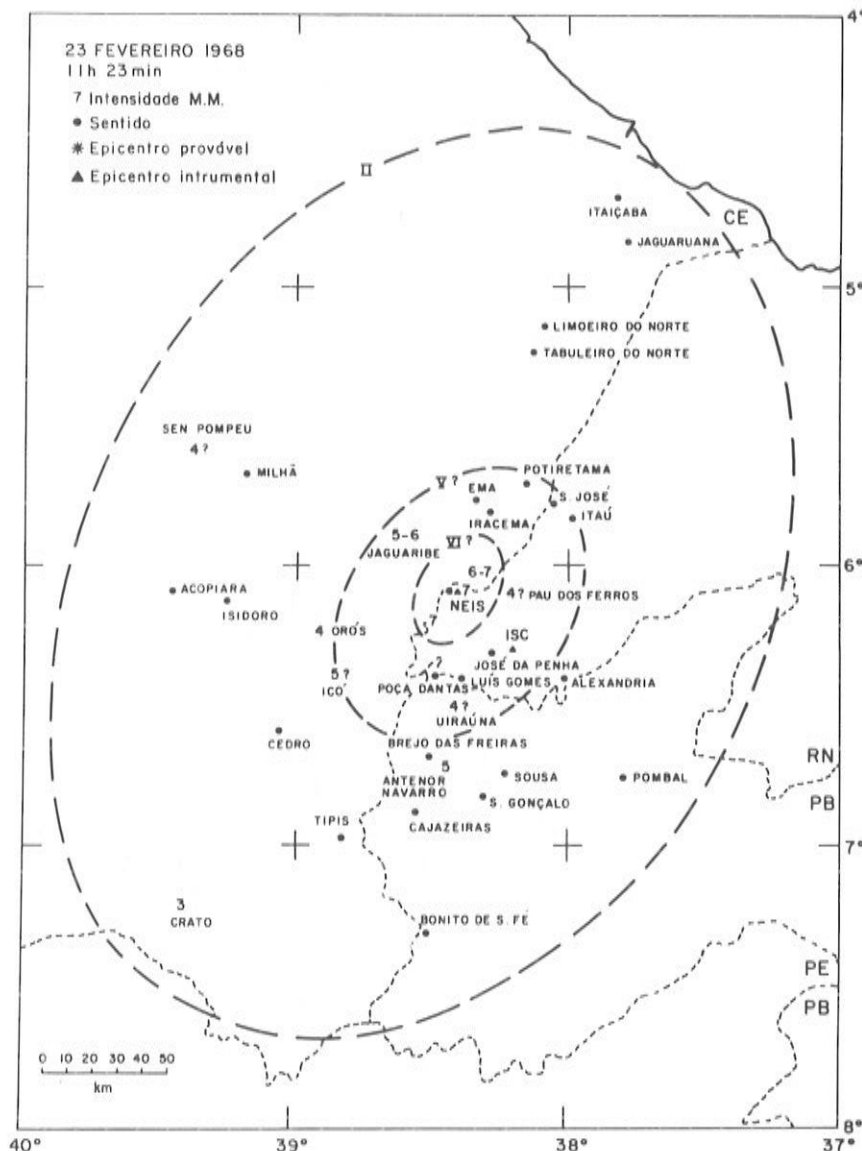


Figura 2 — Área afetada e isossistas do sismo de Pereiro (CE) de 23.02.1968 11h 23 min., hora local).

Sentido também nas seguintes localidades: Carrancuda, Cedro, Conro, Ema, Iracema, Isidoro, Itaiçaba, Jaguaruana, Limoeiro do Norte, Milhã, Palmeira dos Índios, Potiretama, Tabuleiro do Norte e Tipis, no Ceará; Aroeiras, Bonito de Santa Fé, Brejo das Freiras, Cajazeiras, Poço Dantas, Pombal, Saco das Piabas, São Gonçalo e Sousa, na Paraíba; Alexandria, Itaú, José da Penha, Luis Gomes e São José dos Gatos, no Rio Grande do Norte.

b. PACAJUS

Data: 20.11.1980 às 00 h 29 min, hora local
Epicentro provável: 4,30°S 38,40°W

Intensidade máxima observada: VII MM (Fig. 3)

Área afetada: 1×10^6 km² (Fig. 4)

Magnitude: 5,2 mb

Localidades afetadas:

Ceará:

Aracati — tremor sentido por muitos. *Baturité* — causou medo em muitos e pânico em alguns; durou 3 s. *Brito* — várias casas destruídas (queda e trinca de reboco); rachaduras nas paredes da igreja até 2 dedos de largura, atravessando de um lado a outro; rachaduras acompanhando os tijolos; paredes não engatadas afastaram-se ligeiramente. *Capistrano* — causou medo em muitos e pânico em alguns; durou 3 s.

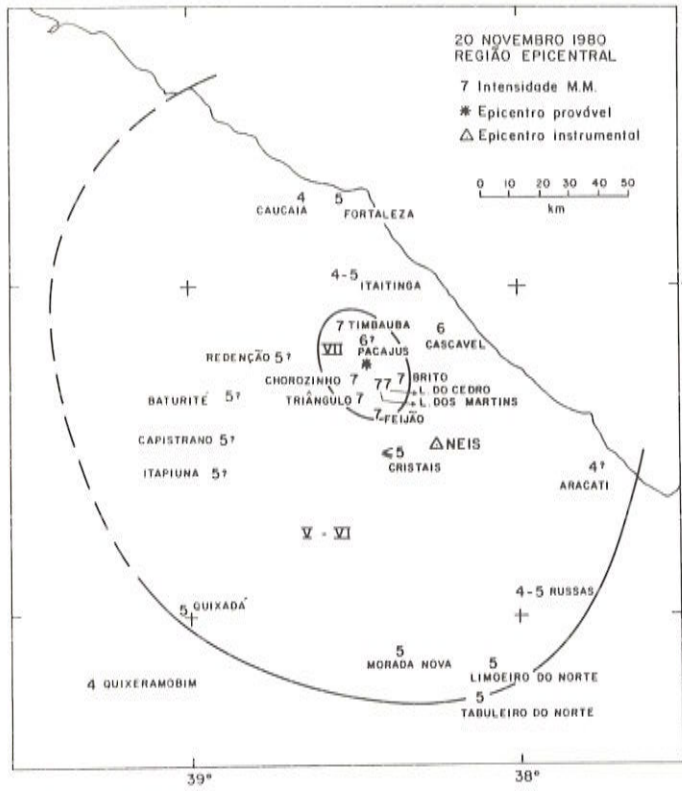


Figura 3 – Região epicentral, com isossistas, do sismo de Pacajus (CE) de 20.11.1980 (00h 29 min, h. local). A linha cheia indica uma maior confiabilidade no traçado da isossista.

Cascavel — muitos sentiram e saíram às ruas; algumas casas apresentaram pequenas trincas; nenhum dano sério. *Catu* — pessoas ficaram desabrigadas. *Caucaia* — acordou doentes no hospital, ventilador descoordenou-se; ferramentas cirúrgicas tiniram; pequeno deslocamento de objetos em mesas e estantes; camas mexeram-se; som cavo e profundo semelhante a um trovão estrangulado. *Chorozinho* — maior parte das construções com rachaduras nas paredes e queda de reboco; forro da igreja começou a desabar, poucas trincas; várias casas de taipa ruíram. *Feijão* — casas desabaram; pessoas feridas e um morto (?). *Fortaleza* — acordou muita gente; paredes, assoalho, portas e forro de madeira rangearam; balançou lustres; parou relógio de pêndulo; redes sacolejaram; copos tilintaram; deslocou objetos e mobílias; derrubou louças e quadros das paredes; quebrou vidraças; dezenas de casas e edifícios com rachaduras nas paredes (?); sentido principalmente em prédios de apartamentos. *Iguatu* — sentido apenas em algumas áreas da cidade; portas tremeram. *Itapiuna* — causou medo em muitos e pânicos em alguns; durou 3 s. *Lagoa de Cedro* — várias casas foram ao chão; desabamento de paredes de tijolo inteiro; partes de paredes bastante deslocadas e inclinadas; porta envergada; trincas em pilares; rachaduras em muros; queda de reboco; 200 desabrigados com medo das rachaduras das casas. *Lagoa do Martins* — casa desabou quase totalmente; famílias desabrigadas. *Limoeiro do Norte* — curto tremor de terra que durou mais de 3 s; a cidade praticamente toda acordou. *Mombaça* — sentido por algumas pessoas. *Morada Nova* — balançou quadro; caiu um objeto de prateleira; telhado “chacoalhou”, derrubando poeira; telhas afastaram-se e

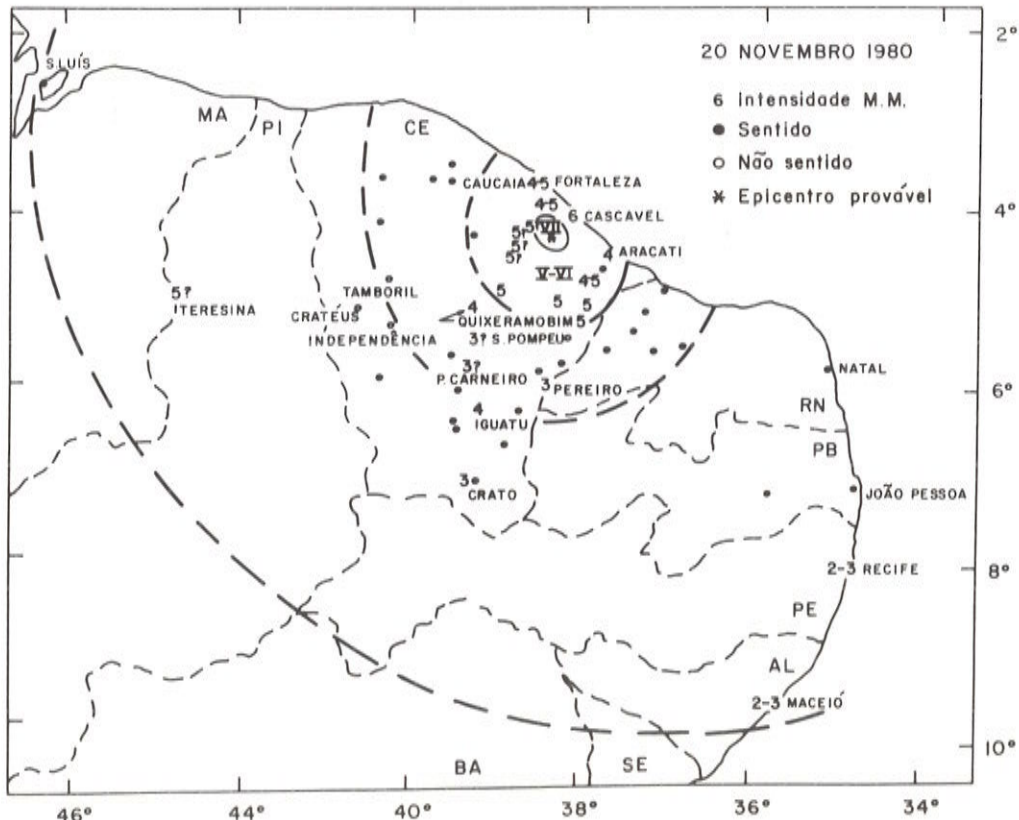


Figura 4 – Área afetada e isossistas do sismo do Pacajus (CE) de 20.11.1980 (00h 29 min., h. local).

cairam (?). *Pacajus* — dezenas de casas no município foram atingidas; duas fábricas com enormes rachaduras em suas paredes; diversas (?) casas com paredes rachadas. *Pereiro* — sentido por algumas pessoas. *Piquet-Carneiro* — sentido por algumas pessoas. *Quixadá* — população acordada por fortes tremores; rachaduras (?) e quebra de telhas e caibros em residências; desmaios e garrafas quebradas nos bares; muitas pessoas nada sentiram. *Quixeramobim* — algumas pessoas sentiram o abalo; não houve pânico; numa das ruas todas as casas sofreram avarias (?); sentiu-se barulho nas telhas. *Redenção* — causou medo em muitos e pânico em alguns; durou 3 s. *Russas* — muitas pessoas sentiram; nenhum estrago em construção; pequeno recalque em dique não compactado. *Senador Pompeu* — sentido por algumas pessoas. *Tabuleiro do Norte* — telhas afastaram-se e caíram. *Timbaúba* — tetos desabados e rachaduras nas paredes, na maioria das casas; dois feridos; casa nova rachada; paredes da igreja rachadas; telhado da escola parcialmente caído. *Triângulo de Quixadá* — rachaduras a 45° de lado a lado em parede de um tijolo; queda de azulejos; trinca em piso de ladrilhos, soltando alguns; a maior parte das construções com rachaduras nas paredes e queda de reboco.

Pernambuco:

Recife — sentido nos edifícios causando trepidação nas cadeiras e louças e, em alguns locais, em pias.

Alagoas:

Maceió — sentido por algumas pessoas, num raio de quase 10 km, no bairro do Prado; sentido claramente em alguns prédios onde pessoas desceram em pânico.

Piauí:

Teresina — sentido em vários pontos da cidade (prédios e casas); vidraças quebradas e queda de reboco na Casa dos Estudantes; sofás tremeram, telhas caíram; muitas pessoas, de vários pontos da cidade, foram para a rua; passou despercebido pela maior parte da população.

Sentido também nas seguintes localidades: Acopiara, Alto Santo, Araras, Canindé, Cariús, Choró dos Macacos, Cris-tais, Crato, Fiúza, Ibaretama, Icó, Iracema, Irauçuba, Itaiçaba, Itaitinga, Itapajé, Itapipoca, Jaguaribe, Jagaruana, Juatama, Juazeiro do Norte, Jucás, Lavras da Mangabeira, Oiticica, São João do Jaguaribe, S. Luis, Sítio Albano, Sobral, Tauá, Umirim e Vila Rosa, no Ceará; São Luis, no Maranhão; Campina Grande e João Pessoa, na Paraíba; Açu, Apodi, Areia Branca, Governador Dix-Sept Rosado, Mossoró, Natal e Upanema, no Rio Grande do Norte.

DADOS INSTRUMENTAIS

Devido ao pequeno número de estações sismográficas operando no Brasil (3 até o início da década de 70; de 20 a

30 atualmente) e à distribuição inapropriada das mesmas, com apenas quatro estações no Nordeste (Natal, Sobradinho, Itataia e Itaparica), somente eventos sísmicos de razoável magnitude, que ocorrem no Nordeste, podem ser registrados por estações brasileiras ou do exterior.

Para a compilação dos dados instrumentais apresentados neste trabalho, foram analisados sismogramas da Estação de Natal (NAT), da Estação Sismográfica de Brasília e de algumas outras operadas pela Universidade de Brasília. Incluem-se também dados da Rede Sismográfica de Sobradinho fornecidos pelo Instituto Astronômico e Geofísico da Universidade de São Paulo. Dados obtidos por estações do exterior foram extraídos de boletins do ISC (International Seismological Centre) e dos EDR (Earthquake Data Report) do U.S. Geological Survey.

A não ser a série de eventos de Parazinho (RN) registrados por NAT, que será apresentada mais adiante, são relativamente poucos os registros instrumentais de eventos sísmicos ocorridos no Nordeste devido aos fatores acima mencionados. Tais dados são de extrema importância tanto para a determinação do epicentro quanto da magnitude.

Magnitude

Uma das escalas de magnitude mais utilizadas é a escala m_b que usa as ondas de volume, definida por Gutenberg & Richter (1956). No entanto, o cálculo de m_b com a tabela de Gutenberg & Richter (1956) não é confiável quando se utilizam dados de estações a distâncias epicentrais menores que 200. Normalmente o valor de m_b de estações próximas no Brasil, é maior que o calculado com estações a distâncias telessísmicas. Para superar esse problema têm sido propostas várias fórmulas regionais para cálculo da magnitude com estações a menos de 200 de distância. Recentemente, Assumpção (1983) propôs a seguinte fórmula para o cálculo da magnitude regional no Brasil, denominada m_R :

$$m_R = \log V + 2,3 \log R - 2,28 \quad 200 \leq R \leq 1500 \text{ km}$$

onde V é a velocidade do solo (μ/s) correspondendo à máxima amplitude de registro da onda P e R a distância da estação ao epicentro (em km). Esta fórmula fornece valores mais próximos do valor m_b telessísmico que outras fórmulas de magnitude regional quando aplicadas a sismos brasileiros. Neste trabalho a magnitude instrumental adotada foi m_b , quando havia dados telessísmicos, ou m_R quando os dados eram de estações regionais.

Medidas de S-P (NAT)

A medida de S-P (diferença entre o tempo de chegada da onda S e da P) permite, em princípio, obter a distância epicentral. Para tanto basta utilizar uma tabela que forneça o tempo de percurso das ondas S e P em função da distância epicentral e da profundidade do foco. Uma tabela muito utilizada é a J-B (Jeffreys & Bullen, 1940).

Variações regionais da estrutura da crosta e manto superior, podem significar grandes diferenças entre os tempos de percurso reais e os da tabela J-B, principalmente para distâncias regionais. Erros de dezenas de quilômetros podem ser cometidos com os dados de S-P quando se usa a tabela J-B sem testar se ela é válida para determinada região. Na

Tabela 1 são comparados os valores da distância epicentral (Δ^o) utilizando-se a tabela J-B com os valores de Δ^o adotados para alguns eventos. Como se pode ver a tabela J-B fornece valores muito parecidos com os adotados mostrando que, em princípio, a mesma pode ser utilizada para a região nordestina.

Tabela 1 — Comparação das distâncias epicentrais calculadas pelas tabelas Herrin (adotada) e J-B para alguns sismos registrados por NAT.

EVENTO	Δ^o (o) adotada	Δ^o (o) J - B
Pereiro (1968)	$3,15 \pm 0,02$	$3,13 \pm 0,03$
Caruaru (1967)	$2,42 \pm 0,02$	$2,45 \pm 0,03$
Toritama (1974)	$2,25 \pm 0,09$	$2,30 \pm 0,09$
Parazinho (1973)	$0,79 \pm 0,02$	$0,82 \pm 0,02$

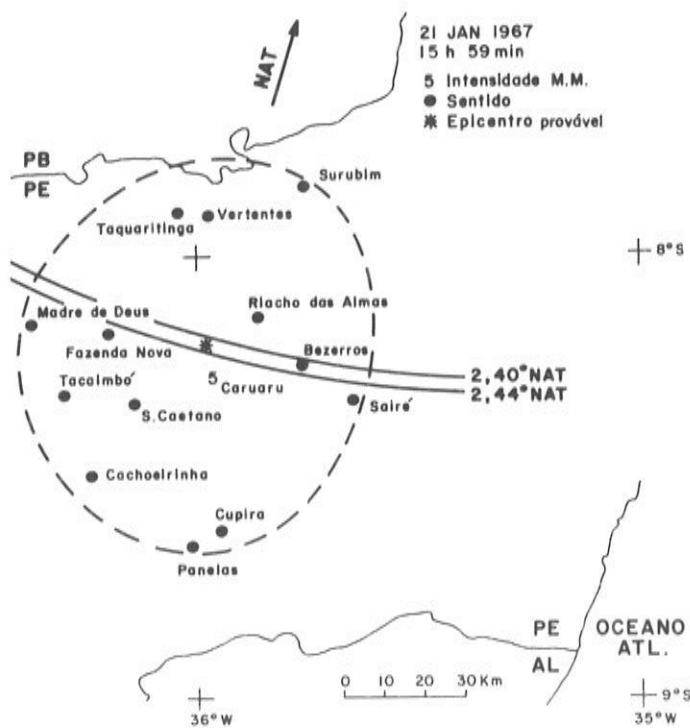


Figura 5 — Área afetada pelo sismo de Caruaru (PE) de 21.01.1967 mostrando a faixa onde deve estar o epicentro, de acordo com os dados instrumentais (S-P), utilizando-se a tabela de Herrin.

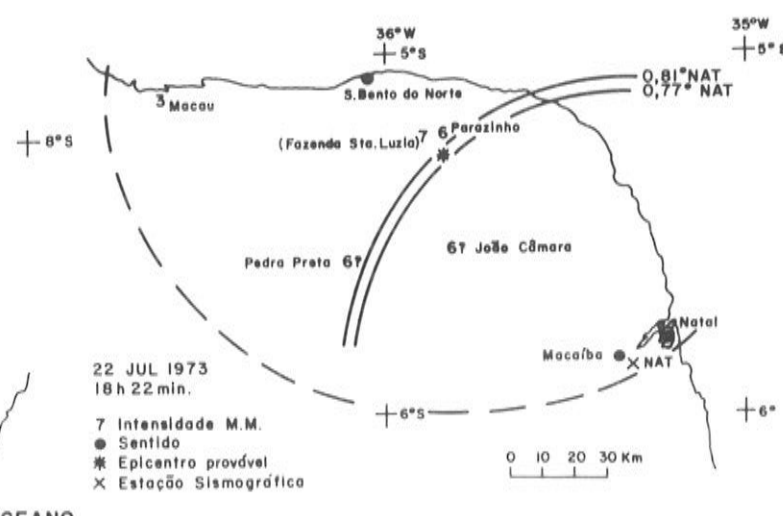


Figura 6 — Área afetada pelo sismo de Parazinho (RN) de 22.07.1973 mostrando a faixa onde deve estar o epicentro, de acordo com os dados instrumentais (S-P), utilizando-se a tabela de Herrin.

20 OUT 1974
18h 37min

5 Intensidade M.M.
● Sentido
* Epicentro provável



Figura 7 — Área afetada pelo sismo de Toritama (PE) de 20.10. 1974 mostrando a faixa onde deve estar o epicentro, de acordo com os dados instrumentais (S-P), utilizando-se a tabela Herrin.

Decidiu-se no entanto, utilizar as tabelas de Herrin (1968) para onda P, visto ser a mesma mais moderna e geralmente dar melhores resultados que a tabela J-B para eventos próximos. Com os dados dos eventos acima calculou-se o valor médio da constante $K = V_p/V_s$, onde V_p e V_s são as velocidades das ondas P e S. Supondo-se que a razão V_p/V_s seja constante nas camadas da crosta e manto superior, vê-se que $K = t_s/t_p$ onde t_s e t_p são os tempos de percurso das ondas P e S. Ou ainda $K = 1 + (t_s - t_p)/t_p$. Obtem-se K, então, com P-S ($=t_s - t_p$) lido nos sismogramas e t_p fornecido pela tabela de Herrin (1968) para a distância epicentral do evento.

Uma vez determinado um valor preliminar de K, os epicentros podem ser melhor definidos combinando-se os dados instrumentais (S-P) com as informações macrossísmicas. Ou seja, para os eventos acima referidos os epicentros e o valor de K foram obtidos iterativamente. Os epicentros usados estão nas Figs. 1, 5, 6 e 7.

A Fig. 8 mostra o valor final de $K = 1,769 \pm 0,007$ cujos dados estão na Tabela 2. Este valor de K poderá ser usado futuramente para determinar distâncias epicentrais de outros sismos registrados por estações do Nordeste. Na Tabela 2 os valores da profundidade focal (h) não são bem determinados e foram adotados com base nos dados macrossísmicos (Ferreira, 1983).

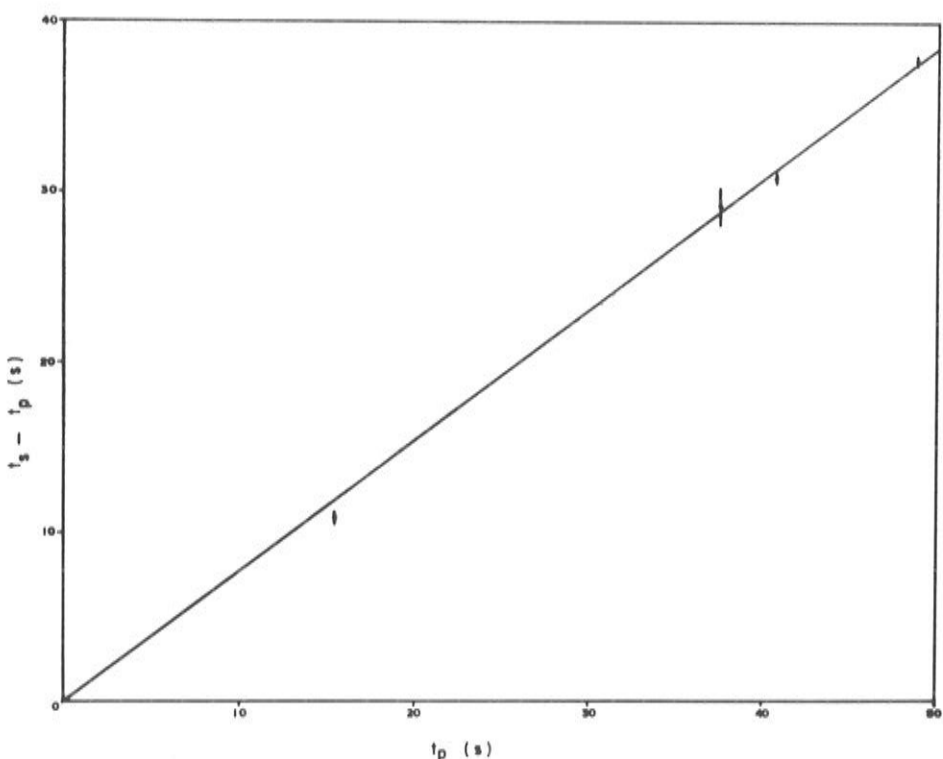
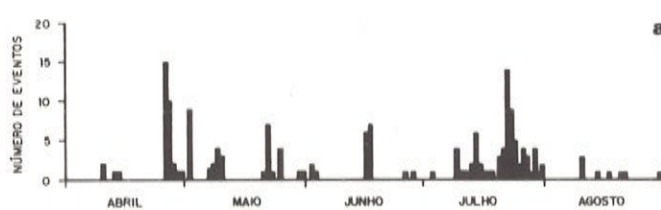


Figura 8 — Reta de ajuste de $t_s - t_p$ em função de t_p de acordo com os dados da Tabela 2. O coeficiente angular dessa reta é 0,769 o que equivale a $K = 1,769$.

Tabela 2 — Parâmetros dos sismos utilizados no cálculo da constante $K = V_p/V_s$.

EVENTO	S - P (s)	h (km)	tp (s)
Pereiro (1968)	$37,7 \pm 0,2$	15	48,82
Caruaru (1967)	$30,8 \pm 0,2$	5	40,75
Toritama (1974)	$29,1 \pm 1,0$	5	37,46
Parazinho (1973)	$10,9 \pm 0,2$	15	15,45



Sismos de Parazinho

a

No ano de 1973 vários sismos foram sentidos no município de Parazinho (RN) sendo que três deles chegaram a ser sentidos em Natal, a aproximadamente 90 km do epicentro. Numa análise dos registros da estação de Natal (NAT) no período compreendido entre 19 de abril e 31 de agosto de 1973 verificou-se que NAT registrou 165 eventos ocorridos em Parazinho (Fig. 9a).

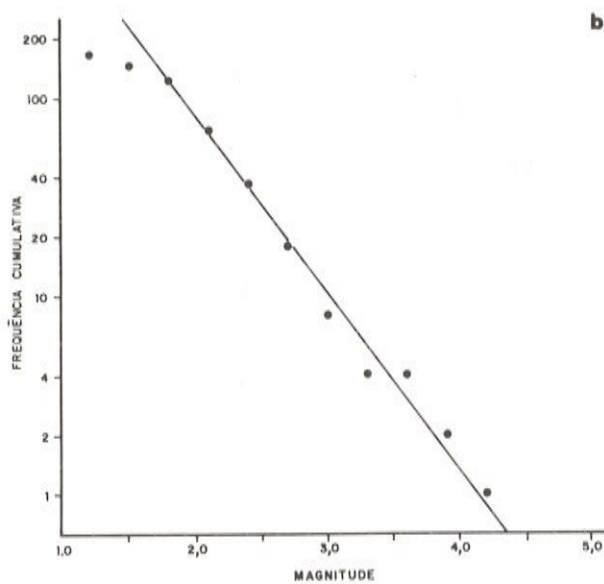


Figura 9 — a) Distribuição temporal mostrando o número de eventos ocorridos em Parazinho (RN), por dia, entre 01.04.1973 e 31.08.1973.
b) Freqüência cumulativa da seqüência de abalos ocorridos em Parazinho (RN) em 1973.

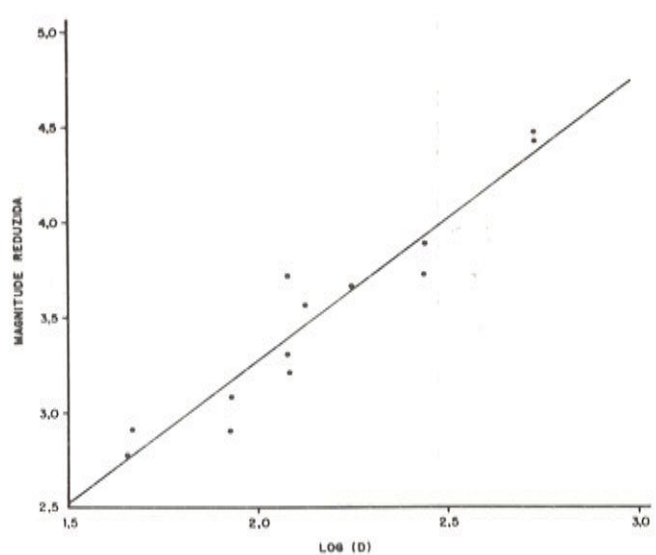


Figura 10 — Correlação entre a magnitude m_R e a duração D. É usada a magnitude reduzida Y, normalizada para a distância de 200 km, $Y = m_R - 0,0012(R-200)$, onde R é a distância epicentral em km, para se eliminar o efeito da distância na correlação entre a magnitude e a duração.

Um único evento, o de 22 de julho às 18h 22min (hora local), foi registrado a distâncias telessísmicas e teve magnitude m_b calculada em 4,1. Para os demais eventos a magnitude pode ser obtida de diversas formas: a) através de m_R ; b) através da duração do sinal, e c) através da relação A_S/V .

a. Para o cálculo de m_R para os eventos de Parazinho supõe-se que a fórmula fosse válida para distâncias epicentrais menores que 200 km. Os dados atualmente disponíveis ainda não permitem verificar a validade dessa extensão da fórmula de m_R .

b. Para sismos próximos como os de Parazinho, freqüentemente os sismogramas ficam saturados não sendo possível o cálculo direto da magnitude. Nestes casos a magnitude m_R pode ser estimada empiricamente através da correlação entre magnitudes e a duração do sinal em NAT. Definindo-se a duração do sinal como o tempo decorrido entre chegada da onda P e o último pulso nítido de 3 mm de amplitude pico a pico, foi obtida a seguinte fórmula:

$$m_R (D) = 0,1 (\pm 0,3) + 1,5 (\pm 0,1) \log D + 0,0012 (\pm 0,0004) R \text{ (c. corr} = 0,96)$$

onde a duração do sinal D é dada em segundos e a distância epicentral R em km. A Fig. 10 mostra a relação entre m_R

e a duração D. Na obtenção dessa fórmula foram utilizados quatro sismos de Pereiro (CE), quatro de Parazinho (RN), três de Toritama (PE), um de São Luis do Curu (CE) e um de Caruaru (PE). Não foram usados unicamente sismos de Parazinho para que se pudesse determinar o termo de variação com a distância tornando a fórmula acima de aplicação mais geral.

c. Vários sismos de Parazinho tinham magnitudes tão baixas que a amplitude da onda P era muito pequena para obter-se um valor confiável de m_R . Nestes casos a magnitude foi estimada através de uma relação empírica entre a velocidade do solo V devido à onda P e a amplitude A_S da onda S. Tal método só é válido considerando-se eventos de um mesmo epicentro (e provavelmente mesmo mecanismo focal) registrados por uma mesma estação. Nessas condições a relação entre V e A_S deve ser linear da forma:

$$V = \alpha A_S$$

onde o coeficiente α é obtido correlacionando-se os pares de valores V e A_S com uma reta que passa pela origem, através do método dos mínimos quadrados. A Fig. 11 mostra os dados usados para obter-se α . Desta maneira m_R pode ser estimado com V obtido através de A_S .

O valor final da magnitude para os eventos de Parazinho foi adotado seguindo os seguintes critérios em ordem

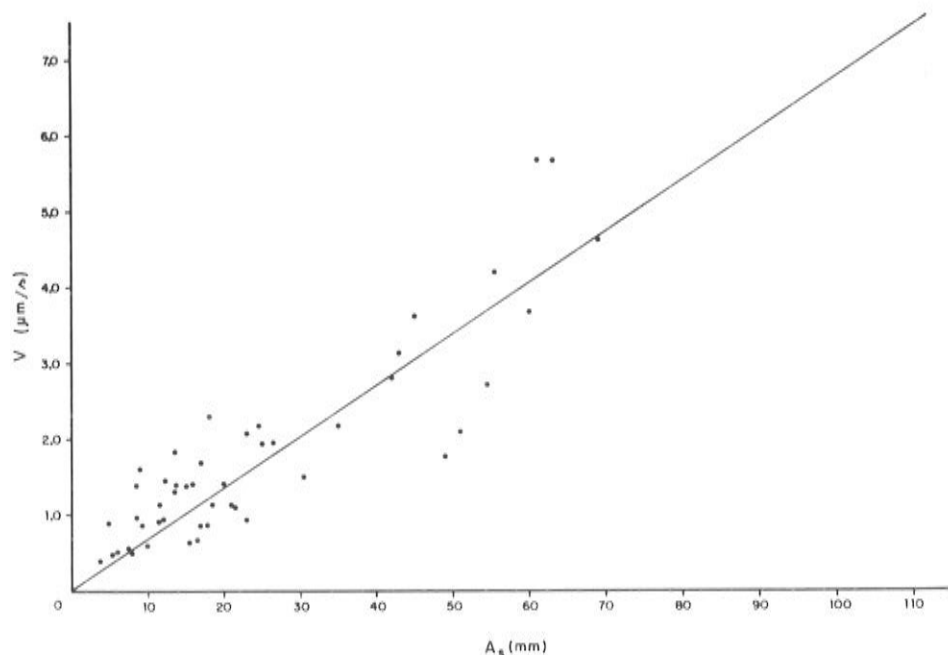


Figura 11 — Gráfico da correlação $V \times A_S$.

de prioridade: a magnitude é igual a uma média entre m_b e m_R quando ambos existam; igual a m_R quando é possível calcular m_R ; uma média ponderada das magnitudes estimadas pela duração e amplitude da onda S, usando-se como pesos os inversos dos desvios padrões, obtidos quando do cálculo das respectivas correlações com m_R .

A relação entre o logarítmico do número de eventos N, ocorridos numa dada região, de magnitude maior ou igual a m, num determinado período de tempo, é geralmente linear (Gutenberg & Richter, 1954):

$$\log N = a - bm$$

onde a depende do nível de sismicidade e b é geralmente próximo de 1. Na Fig. 9b é apresentado o gráfico de $\log N$ em função de m para os eventos de Parazinho. O valor de b, obtido por mínimos quadrados é:

$$b = 0,90 \pm 0,05$$

Este valor poderá ser comparado, futuramente, ao de outras regiões do Nordeste para estudos de regionalização sismotectônica e avaliação de risco sísmico.

MAGNITUDE E ÁREA AFETADA

Como já foi dito, com exceção dos eventos de Parazinho, são poucos os registros instrumentais de eventos sísmicos ocorridos no Nordeste do Brasil. Na prática, poucos são os eventos para os quais é possível determinar diretamente a magnitude. No entanto pode-se estimar a magnitude de um evento sísmico desde que se conheçam relações empíricas entre a magnitude e os dados macrossísmicos do evento. A área total afetada pelo sismo (A_f) ou a área dentro da isossista IV (A_{IV}) são geralmente bem correlacionadas com a sua magnitude e pouco dependentes da profundidade focal (Nuttli et al., 1979). Como os dados disponíveis só do nordeste são muito poucos, para o cálculo da relação entre m_b e a área afetada foram utilizados todos os dados disponíveis para o Brasil (Fig. 12). Usando uma relação linear obtém-se:

$$m_b = 1,80 (\pm 0,10) + 0,56 (\pm 0,02) \log A_f \text{ e}$$

$$m_b = 2,33 (\pm 0,20) + 0,53 (\pm 0,05) \log A_{IV}$$

Com essas relações é possível obter a magnitude para os sismos mais antigos não registrados instrumentalmente, mas

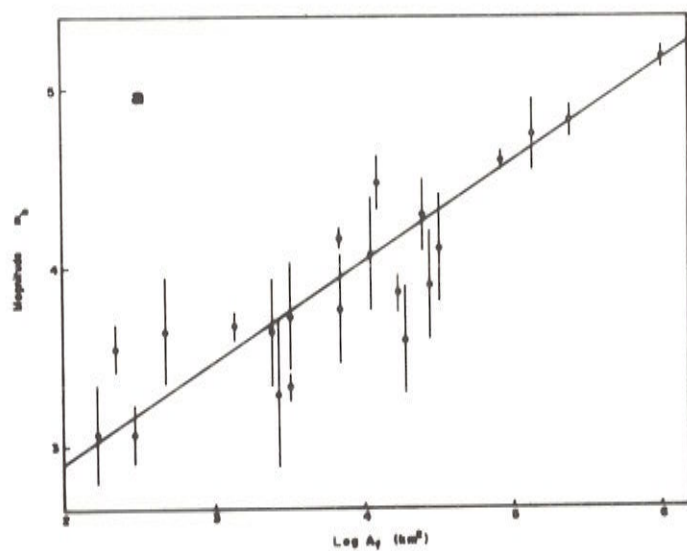
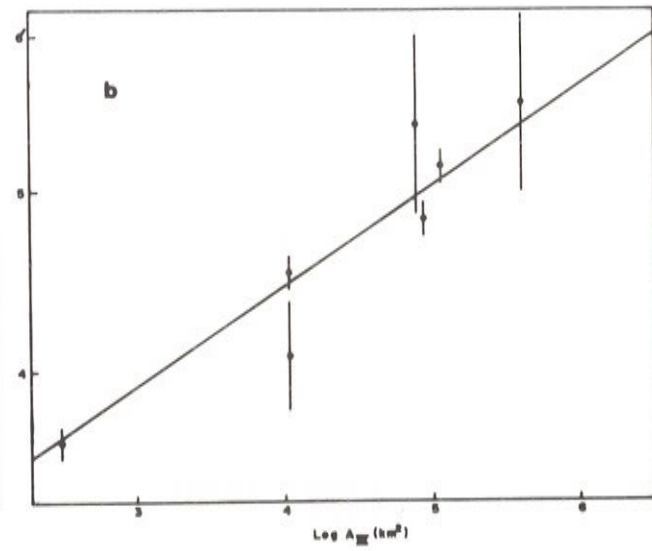


Figura 12 – a) Correlação entre a magnitude m_b e a área afetada total, para sismos ocorridos em várias regiões do Brasil.

para os quais foi possível determinar a área total afetada A_f ou a área dentro da isossista IV MM.

LISTAGEM

A listagem no anexo é uma síntese de todas as informações relevantes relativas a cada evento sísmico, ocorridos



b) Correlação entre a magnitude m_b e área afetada IV, para sismos ocorridos em várias regiões do Brasil.

no Nordeste, até 31 de dezembro de 1980.

Na listagem, a hora local é a hora oficial brasileira (GTM-3h, referente ao meridiano de 45°W) mesmo nos anos em que houve horário de verão.

As coordenadas geográficas são as coordenadas do epicentro, quando foi possível determiná-lo. Caso contrário trata-se das coordenadas da localidade mais afetada ou da

principal localidade em que o sismo foi sentido. O erro na determinação dos epicentros foi estimado de acordo com os dados macrossísmicos disponíveis (só área afetada e algumas intensidades; área afetada e isossistas) levando-se em conta que o epicentro está na região de maior intensidade. A ausência de um valor para o erro do epicentro não significa que este é bem preciso, mas apenas que não existiam dados para tal estimativa (geralmente sismos noticiados em uma só localidade).

A coluna "INT. MM" é a intensidade do sismo na escala Mercalli Modificada (Wood & Neumann, 1931), correspondente à maior intensidade observada de que se tem notícia.

Os eventos sísmicos foram classificados em 5 categorias, dependendo da quantidade e qualidade das informações disponíveis (coluna "CAT"), seguindo a classificação sugerida por Berrocal et al. (1981).

- A. sismo com dados macrossísmicos que permitem construir mapa de isossistas e determinar o epicentro com boa precisão.
- B. sismo com dados que permitem determinar a área afetada, avaliar intensidades e determinar um epicentro aproximado.
- C. sismo com informações certas sobre suas ocorrências, permitindo às vezes avaliar intensidades. A área afetada e o epicentro podem não estar bem determinados.
- D. evento sísmico duvidoso, isto é, há dúvidas quanto ao local, data ou mesmo sobre a confiabilidade da fonte utilizada.
- I. dado instrumental, quando só são disponíveis registros sismográficos sem dados macrossísmicos.

As magnitudes m_b constantes da listagem foram calculadas ou estimadas por um dos seguintes métodos:

TIPO

MÉTODO

- | | |
|----|--|
| 0: | m_b telessísmico (Gutenberg & Richter, 1956) |
| 1: | m_R , estimativa de m_b com estações regionais |
| 2: | média de valores de m_b e m_R |
| 3: | m_b estimado pela área afetada |
| 4: | estimativa aproximada de m_b pela Intensidade Máxima I_0 , supondo que I_0 corresponda à maior intensidade observada, e supondo profundidade focal de poucos quilômetros:
$m_b = 1,21 + 0,45 I_0$ (Assumpção & Burton, 1983). |

A área afetada (coluna "A. AFET.") representa a área total de percepção, isto é, a área dentro da isossista II MM, a não ser quando estiver explicitamente indicado como "área IV" na coluna "COMENTÁRIOS (FONTE)".

Na última coluna são apresentados alguns comentários relevantes e é citada a principal fonte utilizada para cada sismo, não sendo necessariamente a única e nem a que contém todas as informações. No caso do sismo de Pereiro de 1968, por exemplo, foram utilizadas informações de 39 fontes distintas.

CONCLUSÕES

O mapa da Fig. 13 dá uma idéia da sismicidade do Nordeste. O sismo de maior magnitude no Nordeste, foi o de Pacajus (CE) de 1980 com $m_b = 5,2$. A máxima intensidade de que se tem notícia foi VII MM, tendo já ocorrido na Bahia (Recôncavo), no Ceará (Pereiro e Pacajus) e no Rio Grande do Norte (Parazinho e Riachuelo). Os estados de maior atividade sísmica são Ceará, Rio Grande do Norte e Bahia (principalmente Recôncavo Baiano).

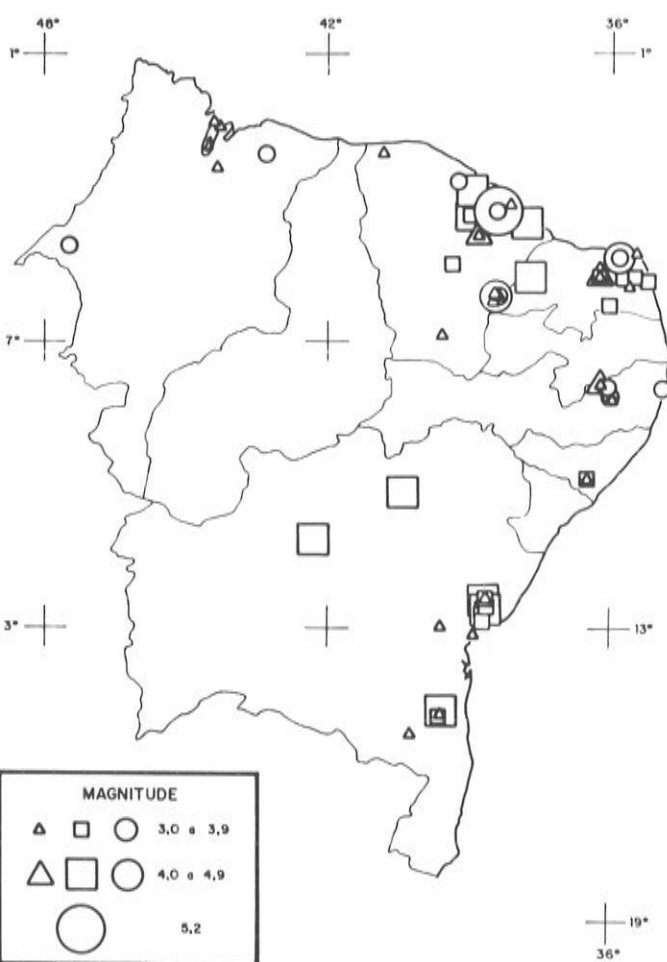


Figura 13 — Distribuição dos epicentros dos sismos do Nordeste. Os símbolos representam as diversas formas de cálculo da magnitude: círculo, magnitude instrumental; quadrado, magnitude calculada através da área afetada; triângulo, magnitude calculada através da intensidade máxima observada.

A relação entre a sismicidade e a tectônica é bastante complexa. Aparentemente a bacia sedimentar do Parnaíba (estados do Piauí e Maranhão) é bem menos sísmica que outras regiões. Grandes falhamentos, como o de Patos e de

Pernambuco, existem no Nordeste mas a relação entre eles e os epicentros não é muito clara. Ainda não se tem evidência segura de reativação de qualquer das grandes falhas geológicas do Nordeste. Um estudo mais detalhado sobre a correlação entre sismicidade e geologia está em andamento (Ferreira, 1983). A listagem apresentada no anexo representa o catálogo mais completo dos dados disponíveis sobre sismos do Nordeste do Brasil até 1980. Todos os sismos foram dimensionados, quer quanto a intensidade máxima quer quanto à magnitude, da maneira mais homogênea pos-

$$m_b = 1,21 + 0,45 I_0$$

sível, ou seja, todas as magnitudes foram referidas a uma única escala (m_b), e as intensidades de todos os sismos foram avaliadas com os mesmos critérios na tentativa de diminuir a parte subjetiva da interpretação de intensidades.

Espera-se que este catálogo sirva de base inicial para interpretações sismotectônicas e avaliação de risco sísmico no Nordeste do Brasil.

AGRADECIMENTOS

Agradecemos aos colegas do Grupo de Sismologia do IAG - USP, em especial a Jesus Berrocal, pelas informações iniciais sobre sismos do Nordeste assim como pela contribuição na avaliação das intensidades. Apesar das intensidades terem sido avaliadas pela comparação de interpretações independentes de várias pessoas do IAG, a responsabilidade pelos valores adotados neste trabalho cabe unicamente aos autores. Agradecemos a J. A. Mioto, do IPT - São Paulo, que gentilmente forneceu informações sobre o sismo de Pacajus de 20.11.80.

Este trabalho teve apoio financeiro da Comissão Nacional de Energia Nuclear (CNEN), CAPES (bolsa PICD) e CNPq (bolsa nº 30.0227/79).

REFERÊNCIAS

- ALCÂNTARA, P. d'. — 1860 — Documentos relativos ao tremor de terra havido em Pernambuco em 1811. Rev. Inst. Hist. e Geog., Rio de Janeiro, **23**: 401-406.
- ASSUMPÇÃO, M. — 1983 — A regional magnitude scale for Brazil. Bull. Seism. Soc. Am., **73**: 237-246.
- ASSUMPÇÃO, M. e BURTON, P. W. — 1983 — Seismicity of Brazil. Em preparação.
- BERROCAL, J., ASSUMPÇÃO, M., ANTEZANA, R., DIAS NETO, C.M., ORTEGA, R. e FRANÇA, H. — 1979 — Regionalização sísmica do Brasil. Relatório científico para a CNEN. IAG-USP.
- BERROCAL, J., ASSUMPÇÃO, M., ANTEZANA, R., DIAS NETO, C.M., ORTEGA, R. e FRANÇA, H. — 1981 — Regionalização sísmica do Brasil. Relatório científico final para a CNEN, 399 pp.
- BRANNER, J. C. — 1912 — Earthquakes in Brazil. Bull. Seismol. Soc. Am., **2**: 105-117.
- BRANNER, J.C. — 1920 — Recent earthquakes in Brazil. Bull. Seism. Soc. Am., **10**: 90-104.
- BRASIL, T.P.S. — 1863 — Ensaio Estatístico da província do Ceará. Tomo I. Pg. 51.
- CAPANEMA, G. S. — 1859 — Quais as tradições ou vestígios geológicos que nos levam à certeza de ter havido terremotos no Brasil. Rev. Inst. Hist. Geogr. Bras., **22**: 135-159.
- CARVALHO, A. — 1916 — Terremotos no Brasil. Rev. Inst. Hist. e Geog. do RN, **15**: 92-93.
- FERREIRA, J. M. — 1983 — Sismicidade do Nordeste do Brasil. Tese de mestrado, em preparação.
- GAMA, A. — 1910 — Tremores de terra no Brasil e sua origem provável. An. 1º Congr. Bras. Geog., **4**: 153-178.
- GUTENBERG, B. e RICHTER, C. F. — 1954 — Seismicity of the Earth and associated phenomena. Princeton U.P., 310 pp.
- GUTENBERG, B. e RICHTER, C. F. — 1956 — Magnitude and energy of earthquakes. Ann. Geofis., **9**: 1-15.
- HABERLEHNER, H. — 1978 — Análise sismotectônica do Brasil, notas explicativas e regiões correlacionadas. An. 2º Congr. Bras. Geol. Eng., **1**: 297-329.
- HASUI, Y. e PONÇANO, W.L. — 1978 — Geossuturas e sismicidade no Brasil. An. 2º Congr. Bras. Geol. Eng., **1**: 331-338.
- HERRIN, E. — 1968 — 1968 seismological tables for P phases. Bull. Seism. Soc. Am., **58**, 4: 1192-1241.
- JEFFREYS, H. e BULLEN, K. E. — 1940 — Seismological tables. British Association for the Advancement of Science, London.
- MEDEIROS, T. — 1965 — A terra tremeu em Natal. Rev. Inst. Hist. e Geog. do RN, **60**: 67-72.
- MELLO, J.A.T. — 1881 — Ephemerides Nacionais. Rio de Janeiro Tomos I e II.
- NUTTLI, O.W., BOLLINGER, G.A. e GRIFFITHS, D.W. — 1979 — On the relation between Modified Mercalli intensity and body wave magnitude. Bull. Seism. Soc. Am., **69**: 893-910.
- SADOWSKI, G.R., CSORDAS, S. M. e KANJI, M. A. — 1978 — Sismicidade da plataforma brasileira. An. 30º Congr. Bras. Geol., **5**: 2347-2361.
- SAMPAIO, T. — 1916 — Movimentos sísmicos na Bahia de Todos os Santos. An. 5º Congr. Bras. Geog.: 357-367.
- SAMPAIO, T. — 1920 — Tremores de terra na Bahia em 1919. de Todos os Santos. Rev. Inst. Geog. e Hist. da Bahia, **26**, 45: 211-222.
- SAMPAIO, T. — 1920 — Tremores de terra na Bahia em 1919 — Rev. Inst. Geog. e Hist. da Bahia, **27**, 46: 183-195.
- WOOD, H. O. e NEUMANN, F. — 1931 — Modified Mercalli intensity scale of 1931. Bull. Seism. Soc. Am., **21**: 277-283.

ANEXO

CATÁLOGO DE SISMOS DO NORDESTE OCORRIDOS ATÉ DEZ. 1980

N.	DATA ANO MES DIA	H.LOCAL H M S	COORD. LAT. S LONG. W	ERRO km	LEOCALIDADE	ESTADO	INT. MM	CAT	MAGNITUDE mb	A.AFET.	COMENTÁRIOS (FONTE)
									3	2	
									10	km	
1	1666				SALVADOR	BA		D			tsunamis? (SAMPAIO 1916)
2	1709				SALVADOR	BA		D			(SADOWSKI et al. 1978)
3	1720 11 23				SALVADOR	BA		D			(CARVALHO 1916)
4	1721 03 20				SALVADOR	BA	III-IV	C	2.8	4	(SAMPAIO 1916)
5	1724 01 04	07 30	13.00	38.50	SALVADOR	BA					(GAMA 1910)
6	1769 08 01	21 30	13.00	38.50	SALVADOR	BA					(MELLO 1881) ano 1767?
7	1808 08 08	08	05.54	37.61	100	ACU	RN	VI	4.8	3	230.0 (CAPANEMA 1859)
8	1810 04 19		03.10	40.84	GRANJA	CE		C			(BRASIL 1863)
9	1811 10 28	19	08.08	34.87	50	RECIFE	PE	V	3.8	3	.6 área IV; (ALCÂNTARA 1860)
10	1815 06		12.76	38.49	CABOTO	BA		C			(SAMPAIO 1916)
11	1824		07.59	39.28	JARDIM	CE		C			fratura 30km? (BRASIL 1863)
12	1846		03.10	40.84	GRANJA	CE		C			(BRASIL 1863)
13	1852 12 02	13 30	04.56	37.76	ARACATI	CE		C			(CAPANEMA 1859)
14	1852		03.10	40.84	GRANJA	CE		C			(BRASIL 1863)
15	1854 01 10	07	05.20	35.46	TOUROS	RN	V	C	3.5	4	(CAPANEMA 1859)
16	1855		03.10	40.84	GRANJA	CE		C			(BRASIL 1863)
17	1864 11 23	11 30	02.53	44.30	SÃO LUIS	MA	IV-V	C	3.2	4	(MELLO 1881)
18	1864 12 27	02	02.53	44.30	SÃO LUIS	MA	III-IV	C	2.8	4	(BRANNER 1912)
19	1871 04 05	01 30	03.40	44.35	ITAPICURU-M.	MA	V-VI	C	3.7	4	(BRANNER 1912)
20	1871 06 14		02.53	44.30	SÃO LUIS	MA		C			(O AMERICANO 11.09.1871)
21	1879 07 24	17 25	05.77	35.21	20 NATAL	RN	V	C	3.4	3	0.7 (MEDEIROS 1965)
22	1886				LAJES	RN		D			(D. NATAL 29.08.63)
23	1894				LAJES	RN		D			" "
24	1898				PEREIRO	CE		D			(J.B. 20.08.68)
25	1899 12		13.03	39.60	AMARGOSA	BA	V	C	3.5	4	(SAMPAIO 1920)

N.	DATA	H.LOCAL	COORD.	GEOGR.	ERRO	LOCALIDADE	ESTADO	INT.	MM	CAT	MAGNITUDE	A.AFET.	COMENTÁRIOS
ANO	MES	DIA	H	M	S	LAT.	S LONG.	W	km	mb	tipo	10 km	(FONTE)
26	1899					LAJES	RN			D			(D. NATAL 29.08.63)
27	1903	02	10			04.38	38.97	30	BATURITE'	CE	VI	C	3.9 3
28	1903	02	12			04.38	38.97	30	BATURITE'	CE	VI	C	3.9 3
29	1903	02	14			04.38	38.97	30	BATURITE'	CE	VI	C	4.1 3
30	1903	02	15			04.38	38.97	30	BATURITE'	CE	VI	C	4.1 3
31	1903	02	16			04.38	38.97	30	BATURITE'	CE	VI	C	4.1 3
32	1903	07	20			04.36	39.32		CANINDE'	CE	C		" "
33	1903								PEREIRO	CE	D		(OEESP 01.12.76)
34	1904	07	18	19	30	10.20	40.40	100	S. DO BOMFIN	BA	V	B	4.8 3
35	1905	03	12	16		02.53	44.30		SÃO LUIS	MA	C		tempoade? (J.B.26.3.67)
36	1905								XIQUE-XIQUE	BA	IV	B	4.7 3
37	1907	08							BATURITE'	CE	D		(OEESP 01.12.76)
38	1908								CARUARU	PE	C		(VANGUARDA 25.12.66)
39	1909	12	23			02.41	44.42		ALCÂNTARA	MA	IV	C	3.0 4
40	1909								PEREIRO	CE	D		(BSSA 1917)
41	1911	02				13.00	38.66		ITAPARICA	BA	C		(J.B. 20.08.68)
42	1911	03	15	20	55	12.89	38.69	20	ITAPARICA	BA	C	3.3 3	0.4 "
43	1911	03	22	15		12.92	38.67	20	ITAPARICA	BA	VII	C	3.4 3
44	1911	08	26	21	15	03.10	40.84		GRANJA	CE	C		(SAMPAIO 1916)
45	1912	04	18						BR.JEQUIRÍÇA	BA	C		" "
46	1912	04	19	05					B. JEQUIRÍÇA	BA	C	3.7 4	" "
47	1912	04	19	10					BR.JEQUIRÍÇA	BA	C		" "
48	1912								LAJES	RN	D		(D. NATAL 29.08.68)
49	1913	02	23							BA	D		(SADOWSKI et al.1978)
50	1913	08								CE	C		(POVO 24.02.68)
										PEREIRO			

N.	DATA	H-LOCAL	COORD.	GEOGR.	ERRO	LOCALIDADE	ESTADO	INT.	MM	CAT	MAGNITUDE	A.AFET.	C O M E N T Á R I O S		
	ANO MES	dia	h	m	s	LAT.	S	LONG.	W	km	mb	tipo	10 km ²	(F O N T E)	
51	1915	11	06	15	30	12.73		38.64		20	I-DAS FONTES	BA	VI	B 4.0 3 1.7	área IV (SAMPAIO 1916)
52	1915					13.37		39.09			VALENÇA	BA	C		(SAMPAIO 1919)
53	1916	06	12	10		13.04		39.01			NAZARE'	BA	C		" "
54	1917	11	07	20	25	12.47		38.65	10	RIO FUNDO	BA	VII-VIII	B 4.3 3	27.0	(SAMPAIO 1919)
55	1917	11	07	22		12.47		38.65	10	RIO FUNDO	BA	IV	C 3.7 3	2.3	" "
56	1917	11	08	04		12.45		38.62		RIO FUNDO	BA	C		" "	
57	1917	12	08							CACHOEIRA	BA	D		(SADOWSKI et al. 1978)	
58	1917	12	22	21		12.45		38.62		RIO FUNDO	BA	C		(SAMPAIO 1919)	
59	1918	01	12	08		12.45		38.62		RIO FUNDO	BA	V-VI	C 3.7 4		" "
60	1918	03	04	14		12.45		38.62		RIO FUNDO	BA	C		" "	
61	1918	03	22	00		12.45		38.62		RIO FUNDO	BA	C		" "	
62	1918	03	22	12		12.45		38.62		RIO FUNDO	BA	C		" "	
63	1918	03	27	11		12.45		38.62		RIO FUNDO	BA	C		" "	
64	1918	03	29	11		12.45		38.62		RIO FUNDO	BA	C		" "	
65	1918	04	14	04	30	12.45		38.62		RIO FUNDO	BA	C		" "	
66	1918	04				12.45		38.62		RIO FUNDO	BA	C		14 a 19 (SAMPAIO 1919)	
67	1918	04	19	08		12.45		38.62		RIO FUNDO	BA	C		(SAMPAIO 1919)	
68	1918	06				12.45		38.62		RIO FUNDO	BA	C		" "	
69	1918	08	29			03.69		40.36		SOBRAL	CE	C		(POVO 21.11.80)	
70	1918									PEREIRO	CE	D		(G. NOTÍCIAS 29.02.68)	
71	1918					08.28		35.96		CARUARU	PE	C		(VANGUARDA 25.12.66)	
72	1919	05	08			04.36		39.32		CANINDE'	CE	C		(POVO 21.11.80)	
73	1919	07	29	06		12.68		38.70		S.B.DASLAJES	BA	C		(BRANNER 1920)	
74	1919	08	04			04.36		39.32		CANINDE'	CE	C		(POVO 21.11.80)	
75	1919	11	09	11		12.72		38.71	20	ACUPE	BA	IV-V	C 3.8 3	3.7	(SAMPAIO 1920)

Sismicidade do Nordeste do Brasil

N.	DATA	H.LOCAL	COORD.	GEOGR.	ERRO	LOCALIDADE	ESTADO	INT.	MM	CAT	MAGNITUDE	A.AFET.	COMENTÁRIOS	3	2	
														mb	tipo	10 km (FONTE)
76	1919	11	10			12.59	38.65	20	SANTO AMARO	BA	C	3.6	3	1.7	" "	
77	1919	11	20	55		12.68	38.70		S.B.DASLAJES	BA	C	3.5	4		(BRANNER 1920)	
78	1919	11	13			12.55	38.70		SANTO AMARO	BA	V	3.5	4		(SAMPAIO 1920)	
79	1919	11	16	06	55	12.65	38.65	20	S.B.DASLAJES	BA	C	3.5	3	1.2	" "	
80	1919	11	23	01	20	12.65	38.63	10	M.RECONCAVO	BA	VII	B	4.0	3	" "	
81	1919	11	24	03		03.92	38.86	50	MARANGUAPE	CE	IV	B	4.5	3	70.0	
82	1919					10.91	37.02		ARACAJU	SE	C				ano 1920? (SAMPAIO 1920)	
83	1919								LAJES	RN	D				(D.NATAL 29.08.63)	
84	1920	02	16	22	45		04.36	39.32	CANIÑE!	CE	C				(BRANNER 1920)	
85	1920	02	21			04.36	39.32		CANIÑE!	CE	C			" "		
86	1922	08	01			08.28	35.96		CARUARU	PE	C				(VANGUARDA 25.12.66)	
87	1922	08	08	12	30	08.28	35.96		CARUARU	PE	C			" "		
88	1923								LAJES	RN	D				(D. NATAL 29.08.63)	
89	1924					08.28	35.96		CARUARU	PE	IV	C	3.0	4	(VANGUARDA 21.06.64)	
90	1924								DR.SEVERIANO	RN	D				(OESP 09.03.68)	
91	1925					08.28	35.96		CARUARU	PE	C				(VANGUARDA 21.06.64)	
92	1927		00			06.04	38.46		PEREIRO	CE	IV	C	3.0	4	(POVO 23.01.68)	
93	1928	04	14	21	59	04.56	37.76		ARACATI	CE	VI	C	4.0	3	área approx. (BSSA 1928)	
94	1928	06	07	21	30	05.39	39.30	50	S. LACERDA	CE	III-IV	C	3.6	3	2.0 (BSSA 1928)	
95	1928								DR.SEVERIANO	RN	D				(OESP 09.03.68)	
96	1928								PEREIRO	CE	D				(G.NOTÍCIAS 29.02.68)	
97	1929	10	05			05.11	38.37		MORADA NOVA	CE	C				(J.A.MIOTO 1980)	
98	1929					04.56	37.76		ARACATI	CE	C				(POVO 21.11.80)	
99	1929								PEREIRO	CE	D				(T. CEARÁ 05.03.68)	
100	1930								CAMPINA GRDE	PB	D				(J.COMER., RJ, 14.03.68)	

N.	DATA ANO MES DIA	H LOCAL M	COORD. S	GEOGR. W	ERRO km	LOCALIDADE ESTADO	INT.	MM	CAT	MAGNITUDE mb	A.A.FET. tipos	COMENTÁRIOS 3 2 km (F O N T E)
101	1936					DR. SEVERIANO RN			D			(OEESP 09.03.68)
102	1938					PEREIRO CE			D			(C. CEARA' 17.01.68)
103	1938					UIRAUNA PB			D			(POVO 24.02.68)
104	1940					DR. SEVERIANO RN			D			(OEESP 09.03.68)
105	1940					PEREIRO CE			D			(T. CEARA' 05.03.68)
106	1942	15	30	03	10	40.84	GRANJA	CE	IV	3.0	4	(FSP 21.11.80)
107	1943					PEREIRO CE			D			(G. NOTÍCIAS 29.02.68)
108	1947	11	18			05.11	38.37		MORADA NOVA	C		(J.A. MIOTO 1980)
109	1948					PEREIRO CE			D			(FSP 01.03.68)
110	1949	12	31			05.69	36.24		LAJES RN	VI	3.9	4
111	1949								AL	D		(D. NATAL 29.08.63)
112	1950	04	07	12		05.90	35.61		JOÃO CÂMARA RN	IV	3.0	4
113	1954					09.93	36.49		JUNQUEIRO AL	IV	3.0	4
114	1958								IBARETAMA CE	D		(OEESP 18.01.62)
115	1961	05				08.28	35.96		CARUARU PE	C		(D. NATAL 24.07.73)
116	1963	03	30			05.69	36.24		LAJES RN	C		(G. ALAGOAS 07.03.72)
117	1963	08	27			05.69	36.24		LAJES RN	V-VI	3.7	4
118	1963	09	03			05.69	36.24		LAJES RN	C	3.7	3
119	1963	10	02			05.69	36.24		LAJES RN	VI	3.9	4
120	1963					08.28	35.96		CARUARU PE	C		(DEFESA 25.01.64)
121	1964	01	19	11		08.28	35.96		CARUARU PE	V	3.5	4
122	1964	01	20			08.28	35.96		CARUARU PE	C		(J.B. 26.03.67)
123	1964	06	16			08.28	35.96		CARUARU PE	V	3.5	4
124	1964											(D. NOITE 16.06.64)
125	1964					04.14	38.85		ITAPETINGA BA	D		(OEESP 13.07.76)
									PALMÁCIA CE	C		(POVO 24.05.69)

Sismicidade do Nordeste do Brasil

N.	DATA	H.LOCAL	COORD.	GEOGR.	ERRO	LOCALIDADE	ESTADO	INT.	MM	CAT	MAGNITUDE	A.AFET.	COMENTÁRIOS
	ANO MES DIA	H M S	LAT.	S LONG.	W km			mb	tipo	3 2	10 km	(F O N T E)	
126	1965		08.20	35.98		CARUARU	PE		V	B 3.8	1	7.0	(J.B. 26.03.67)
127	1967 01 21	15 59 48	08.20	35.98	10	CARUARU	PE		V	B 3.8	1	7.0	(NAT; D. NOITE 26.01.67)
128	1967 01 24		08.28	35.96		CARUARU	PE		V	C			(D. NOITE 26.01.67)
129	1967 01 25		08.28	35.96		CARUARU	PE		V	C		" "	" "
130	1967 01 26		08.28	35.96		CARUARU	PE		V	C		" "	" "
131	1967 04 03	07 18 23	02.00	46.00	500	MARANHÃO ?	MA		I	4.7	0		(ISC) NAT não registrou
132	1968 01 12	22 55 51	06.09	38.44	10	PEREIRO	CE		VI	C 3.9	2	25.0	(NAT; C.CEARA' 17.01.68)
133	1968 01 12	22 58	06.04	38.46		PEREIRO	CE		III-IV	C 2.8	4		(POVO 16.01.68)
134	1968 01 18	07 40	06.09	38.44		SALÃO	RN		V	C 3.5	4		dia 18? (POVO 19.01.68)
135	1968 01 18	08	06.09	38.44		SALÃO	RN		V	C			dia 18? " "
136	1968 01 18	08 55	06.09	38.44		SALÃO	RN		V	C			dia 18? " "
137	1968 01 19		06.04	38.46		PEREIRO	CE		V	C			(G. NOTÍCIAS 21.01.68)
138	1968 02 04		06.11	38.44		JUNCO	RN		IV-V	C 3.2	4		(POVO 07.02.68)
139	1968 02 15	10 20 48	06.09	38.44	10	PEREIRO	CE		VI-VII	B 4.1	2	11.0	(NAT; POVO 24.02.68)
140	1968 02 23	11 23 02	06.09	38.44	5	PEREIRO	CE		VII	A 4.6	2	84.0	(NAT,IAG,ISC; ")
141	1968 02 23	11 37 01	06.09	38.44	10	PEREIRO	CE		I	3.0	1		(NAT) epicentro inferido
142	1968 02 23	12 21 16	06.09	38.44	10	PEREIRO	CE		I	3.0	1		(NAT) epicentro inferior
143	1968 02 23	12 33 03	06.09	38.44	10	PEREIRO	CE		I	3.8	2		(NAT; POVO 24.02.68)
144	1968 02 25	00	06.04	38.46		PEREIRO	CE		V	C			(D. NOITE 28.02.68)
145	1968 02 25	00 05	06.04	38.46		PEREIRO	CE		V	C			(FSP 01.03.68)
146	1968 02 25	01	06.04	38.46		PEREIRO	CE		V	C			(G. NOTÍCIAS 29.02.68)
147	1968 02 25	07	06.09	38.44		S.DOSMACACOS	RN		V	C		" "	" "
148	1968 02 27		06.12	38.44		JARDIM	RN		V	C		" "	" "
149	1968 02 28	11	06.12	38.44		JARDIM	RN		V	C		" "	" "
150	1968 03 01		06.09	38.37		DR.SEVERIANO	RN		V	D			(OESP 05.03.68)

N.	DATA	H-LOCAL	COORD.	GEOGR.	ERRO	LOCALIDADE	ESTADO	INT.	MM	CAT	MAGNITUDE	A-AFET.	C O M E N T Á R I O S
ANO	MES	DIA	H	M	S	LAT.	S LONG.	W	km	mb	tipo	10 km	(F O N T E)
151	1968	03	03			06.04	38.46			PEREIRO	CE		ate' 6/03 (POVO 07.03.68)
152	1968	03	18			06.04	38.46			PEREIRO	CE	V-VI	dia 18? (POVO 20.03.68)
153	1968	03				06.92	39.58			FARIAS BRITO	CE	IV	(T. CEARA' 12.03.68)
154	1968	06	24			06.04	38.46			PEREIRO	CE		dia 25? (POVO 27.06.68)
155	1968	08				06.04	38.46			PEREIRO	CE		(J.B. 20.08.68)
156	1968					09.93	36.49			JUNQUEIRO	AL	C	(FSP 09.03.72)
157	1969	04	23			04.15	38.80	5		PALMÁCIA	CE	C	dia incerto; varios ate'
158	1969	05	19			04.15	38.80	5		PALMÁCIA	CE	C	23/05, com rachaduras(?)
159	1969	05	20			04.15	38.80	5		PALMÁCIA	CE	C	no solo. (T. CEARA' 23.05
160	1969	05	21			04.15	38.80	5		PALMÁCIA	CE	C	.69, POVO 24.05.69
161	1969	05	23			04.15	38.80	5		PALMÁCIA	CE	C	e POVO 26.05.69)
162	1970	01	29			07.96	36.21			S.C.-CAPIBARI	PE	VI	(D. PE. 03.02.70)
163	1970	01	30			07.96	36.21			S.C.-CAPIBARI	PE	V	" "
164	1970	10	08							SÃO MIGUEL	RN	D	(SADOWSKI et al. 1978)
165	1970	11				06.93	35.53			ALAGOINHÃ	PB	C	(FSP 14.11.70)
166	1970	11								CARUARU	PE	D	(SADOWSKI et al. 1978)
167	1971	08	04	23	30	08.04	34.90			RECIFE	PE	C	(D. PE. 05.08.71)
,	168	1971	09	23						PEREIRO	CE	D	(BARRROS 1972)
169	1971									IBICARAI'	BA	C	(OEESP 18.10.78)
170	1972	02	27	16	24	14	11.20	36.60	300	NORDESTE ?	AL	I	(ISM 72, IAG) duvidoso
171	1972	02				09.93	36.49			JUNQUEIRO	AL	C	(G. ALAGOAS 07.03.72)
172	1972	03	04	18	45	09.93	36.51			JUNQUEIRO	AL	V	" NAT não registr.
173	1972	06	04	01	30	06.21	38.50			SÃO MIGUEL	RN	IV	0.7 (D. NATAL 06.06.72)
174	1972	12	16			06.04	38.46			PEREIRO	CE	C	(C. MANHA 17.12.72)
175	1972									IBICARAI'	BA	D	(OEESP 21.05.76)

N.	DATA	H.LOCAL	COORD.	GEOGR.	ERRO	LOCALIDADE	ESTADO	INT.	MM	CAT	MAGNITUDE	A.AFET.	COMENTÁRIOS
ANO MES DIA	H M S	LAT.	S LONG.	W	km			mb	tipo	10 km		(FONTE)	
176	1973 04 10		05.28	35.82		PARAZINHO	RN	I			4 ev.	de 10 a 14/04	(NAT)
177	1973 04 20		14.84	39.60		IBICARAI*	BA	C					(HABERLEHNER 1978)
178	1973 04 26	11 15 02	05.28	35.82		PARAZINHO	RN	C	3.6	1	17.0	(NAT; D.NATAL 27.04.73)	
179	1973 04 26	15 54 57	05.28	35.82		PARAZINHO	RN	C	3.6	1	17.0	(NAT; " ")
180	1973 04 27	05 20 13	05.28	35.82		PARAZINHO	RN	I	2.9	1	(NAT)	epi. inferido	
181	1973 05 02	00 41 14	05.28	35.82		PARAZINHO	RN	I	2.9	1	(NAT)	epi. inferido	
182	1973 05 02	00 47 58	05.28	35.82		PARAZINHO	RN	I	3.1	1	(NAT)	epi. inferido	
183	1973 05 02	14 34 34	05.28	35.82		PARAZINHO	RN	IV	C	2.3	1	(NAT; D.NATAL 3.5.73)	12H30
184	1973 06 17	01 22 29	05.28	35.82		PARAZINHO	RN	I	3.0	1	(NAT)	epi. inferido	
185	1973 06 26	02 25 02	05.28	35.82		PARAZINHO	RN	I	3.2	1	(NAT)	epi. inferido	
186	1973 07 20	10 35 25	05.28	35.82		PARAZINHO	RN	I	3.9	1	(NAT)	epi. inferido	
187	1973 07 22	18 22 50	05.28	35.82	10	PARAZINHO	RN	VII	B	4.3	2	25.0	LAO MB4.1-D.NATAL 24.7.73)
188	1973 07 22	18 33 27	05.28	35.82		PARAZINHO	RN	I	3.1	1			(NAT; D.NATAL 24.7.73) 11H?
189	1973 07 23	10 27 10	05.28	35.82		PARAZINHO	RN	C	2.9	1			(NAT) epi. inferido
190	1973 07 23	20 35 51	05.28	35.82		PARAZINHO	RN	I	2.9	1			(D. PE. 24.10.74)
191	1973		08.28	35.96		CARUARU	PE	C					(POVO 20.03.74)
192	1974 03		04.18	38.13		BEBERIBE	CE	C					(OESP 01.12.76)
193	1974 03					PEREIRO	CE	D					(HABERLEHNER 1978)
194	1974 03		05.71	35.75		RIACHUELO	RN	C					
195	1974 04 20		14.84	39.60		IBICARAI*	BA	C				" "	(NAT; D. PE. 22.10.74)
196	1974 10 20	18 37 32	07.99	36.06	10	TORITAMA	PE	V	C	3.6	1	0.5	epicentro inferido (NAT)
197	1974 10 20	18 59 00	07.99	36.06		TORITAMA	PE	I	3.0	1			epicentro inferido (NAT)
198	1974 10 20	20 02 42	07.99	36.06		TORITAMA	PE	I	2.7	1			epicentro inferido (NAT)
199	1974 10 20	23 18 11	07.99	36.06		TORITAMA	PE	I	2.8	1			epicentro inferido (NAT)
200	1974 10 20	23 29 41	07.99	36.06		TORITAMA	PE	I	2.7	1			epicentro inferido (NAT)

N.	DATA	H.LOCAL	COORD.	GEOGR.	ERRO	LOCALIDADE	ESTADO	INT.	MM	CAT	MAGNITUDE	A.AFET.	C O M E N T Á R I O S	
	ANO MES DIA	H	M	S	LAT.	S LONG.	W	km	mb	tipo	10 km	(F O N T E)		
201	1974 10 22	23			07.99	36.06				PE		C	(D. PE. 25.10.74)	
202	1974 10 23	01			07.99	36.06				PE		C	" "	
203	1974 12 15	02	14	46	03.67	39.24	S.L. DO CURU	CE	VII	C	3.4	1	(NAT; C. CEARA' 16.12.74)	
204	1975				05.71	35.75	RIACHUELO	RN	C				(HABERLEHNER 1978)	
205	1976 01				14.84	39.60	IBICARAI'	BA	C				(OESP 21.05.76)	
206	1976 03 31				14.84	39.60	IBICARAI'	BA	C				(J.B. 21.05.76)	
207	1976 04 18				14.84	39.60	IBICARAI'	BA	C				(OESP 27.05.76)	
208	1976 04 19						IBICARAI'	BA	D				(OESP 03.06.76)	
209	1976 05 18	05	30		14.88	39.63	20	IBICARAI'	BA	VII	B	3.7	3	2.7 (OESP 21.05.76)
210	1976 05 19						IBICARAI'	BA	D				(OESP 03.06.76)	
211	1976 05 21				14.84	39.60	IBICARAI'	BA	C				ITABUNA IV (OESP 26.5.76)	
212	1976 05 25	05	30		14.76	39.57	20	COARACI	BA	VII	B	3.7	3	2.7 (OESP 03.06.76)
213	1976 05 30				14.84	39.60	IBICARAI'	BA	C				(OESP 26.05.76)	
214	1976 06 07	21			05.70	35.50	IELM-MARINHO	RN	C				área aprox. (GLOBO 9.6.76)	
215	1976 06 08				05.70	35.50	IELM-MARINHO	RN	C				(GLOBO 09.06.76)	
216	1976 06						PARAZINHO	RN	D				(SADOWSKI et al. 1978)	
217	1976 07 02				15.25	40.25	ITAPETINGA	BA	C				(OESP 13.07.76)	
218	1976 07 12	11			15.25	40.25	ITAPETINGA	BA	IV-V	C	3.2	4	" "	
219	1976 07 23						IBARETAMA	CE	D				(T. CEARA' 31.07.76)	
220	1976 07 26	21			04.83	38.80	IBARETAMA	CE	IV	C	3.0	4	(T. CEARA' 02.08.76)	
221	1976 07 29	15			04.83	38.80	IBARETAMA	CE	V	C	3.5	4	" "	
222	1976 08 09				14.84	39.60	IBICARAI'	BA	C				(D. TARDE 13.08.76)	
223	1976 08 11	17			14.84	39.60	IBICARAI'	BA	V	C	3.5	4	" "	
224	1976 08				04.83	38.80	IBARETAMA	CE	C				(OESP 14.08.76)	
225	1976 10				14.84	39.60	IBICARAI'	BA	C				(GLOBO 30.10.76)	

Sismicidade do Nordeste do Brasil

N.	DATA ANO MES DIA	H LOCAL H M S	COORD. LAT. S LONG. W	km	ESTADO INT. MM	CAT 3 2	MAGNITUDE A.AFET.	COMENTÁRIOS (FONTE)					
226	1976 11	04 43	38.80	COITÉ	CE	C		(OESP 01.12.76)					
227	1977 02 24	05 71	35.75	RIACHUELLO	RN	C		(D. NATAL 26.02.77)					
228	1977 02 25	10 40	05 71	35.75	10	RIACHUELLO	RN	VI-VII	3.6	3	1.4	(POTI 27.02.77)	
229	1977 02 28		05.71	35.75		RIACHUELLO	RN					(D. NATAL 01.03.77)	
230	1977 03 12	04	04.83	38.80		IBARETAMA	CE	VI	C	3.9	4	(T. CEARA' 14.03.77)	
231	1978 02 14		06.28	36.03	15	SANTA CRUZ	RN	V	B	3.7	3	2.4	dia 14? (D.NATAL 18.02.78)
232	1978 10 14	21 30	14.84	39.60		IBICARAI'	BA		C				(OESP 18.10.78)
233	1978 10 17	10 30	14.84	39.60		IBICARAI'	BA		C				dia 17? (OESP 18.10.78)
234	1979 05 29	17 59	13	09.80	37.10	50	BATALHA?	AL		I	2.9	1	(IAG) explosão ?
235	1979 07 02	21 24	53	13.40	39.90	50	STA. INÉS?	BA		I	2.4	1	(IAG) explosão ?
236	1979 07		04.60	40.70		IPUEIRAS	CE		C				(POVO 21.11.80)
237	1979 08 14	21 37	36	14.40	39.40	100	UBATAN?	BA		I	2.1	1	(IAG) explosão ?
238	1979 09 13	12 33	22	12.80	38.10	50	CAMAÇARI?	BA		I	2.8	1	(IAG) explosão ?
239	1979 12 02	09 38	21	12.80	39.30	100	S.A.JESUS?	BA		I	2.4	1	(IAG) explosão ?
240	1980 01 08	18 35	00	03.30	42.50	200	MAGALHÃES?	MA		I	1.9	1	(IAG) explosão ?
241	1980 08 17	03 47	44	13.20	38.80	70	NAZARE?	BA		I	2.6	1	(IAG) explosão ?
242	1980 09 18	07 44	04	12.60	38.20	40	CAMAÇARI?	BA		I	2.7	1	(IAG) explosão ?
243	1980 11 16	11 37	40	12.67	38.70	50	STO. AMARO?	BA		I	3.0	1	(IAG) explosão ?
244	1980 11 19	04 38	46	04.70	38.40	50	CURUPIRA?	CE		I	2.9	1	(IAG) prov. Pacajus
245	1980 11 20	00 29	43	04.30	38.40	10	PACAJUS	CE	VII	A	5.2	2	1000. (IAG,NEIS, Povo 21.11.80)
246	1980 11 20	02 27	11	04.30	38.40	30	PACAJUS	CE		I	2.2	1	(IAG) epi. inferido
247	1980 11 20	01 37	50	04.30	38.40	30	PACAJUS	CE		I	1.6	1	(IAG) epi. inferido
248	1980 11 20	03 21	47	04.30	38.40	30	PACAJUS	CE		I	1.9	1	(IAG) epi. inferido
249	1980 11 20	04 19	39	04.30	38.40	30	PACAJUS	CE		I	1.6	1	(IAG) epi. inferido
250	1980 11 21	18 28	44	04.30	38.40	30	PACAJUS	CE		I	2.4	1	(IAG) epi. inferido
251	1980 11 28	22 05	00	03.10	43.30	100	URB.SANTOS?	MA		I	3.1	1	(IAG)
252	1980 12 14	01 31	00	08.40	37.70	50	CARUARU	PE		I	1.8	1	(IAG)
253	1980 12 24	03 47	26	12.70	38.80	30	STO. AMARO?	BA		I	2.4	1	(IAG) explosão ?